



کانی شناسی، کانه‌زایی، ساخت و بافت مس گیلان‌کشه طارم (شمال شرق زنجان)

فرشته باقی زاده^{*}^۱، حافظ مرنگی^{*}^۲

۱- دانشجوی کارشناسی ارشد، گروه پترولولوژی، دانشگاه زنجان، زنجان، ایران.

Fereshtehbaghzadeh63@gmail.com

۲- دانشجوی دکتری، گروه زمین‌شناسی اقتصادی، دانشگاه تبریز، تبریز، ایران.

چکیده

کانسار مس گیلان‌کشه طارم بنابر تقسیم بندی واحد ساختاری در زون البرز غربی قرار می‌گیرد. واحدهای رخنمون یافته در منطقه مورد مطالعه شامل مجموعه‌های آذرآواری از جمله توف‌های شیشه‌ای و لیتیک توف با بین لایه‌های گدازه‌های آندزیتی، تراکی آندزیت- بازالت، آندزیت- بازالت و پیروکسن- آندزیت با سن ائوسن می‌باشند که واحدهای عضو کردکنند از سازند کرج را در این منطقه تشکیل می‌دهند. در کانسار گیلان‌کشه، ماده معدنی شامل کانه‌های کالکوپیریت، بورنیت، کوولیت، کالکوست، دیژنیت و مالاکیت می‌باشند. ساخت و بافت ماده معدنی در این کانسار شامل دانه‌پراکنده، رگه- رگچه‌ای، جانشینی و پرکننده فضای خالی است. دگرسانی‌های موجود در این کانسار که در ارتباط با فرآیند کانه‌زایی مس می‌باشند شامل دگرسانی‌های کلریتی، کربناتی، سیلیسی، سریسیتی، زنولیتی و در مواردی آرژیلیکی است. شواهدی از جمله کانی‌شناسی، سنگ میزبان، ساخت و بافت و ژئومتری در کانسار مس گیلان- کشه نشان دهنده کانه‌زایی مس از نوع کانسارهای تیپ هیدروترمال می‌باشد. در این کانسار، رگه‌های کانی‌سازی شده، دارای امتداد کلی شمالی- جنوبی بوده و به موازات یکدیگر کشیده شده‌اند. مطالعات میدانی و زمین‌شناسی در این محدوده نشان می‌دهد که گرانیت‌های جوان‌تر از ائوسن که در جنوب محدوده وجود دارند منشا محلول‌های گرمایی مذکور می‌باشند. بنابراین تکتونیک منطقه و رگه‌های سیلیسی را می‌توان به عنوان عامل کنترل کننده کانه‌زایی در محدوده معرفی نمود.

کلیدواژه: طارم، کانی‌سازی مس، هیدروترمال، گیلان‌کشه

Mineralogy, mineralization, Structure and texture of Gilan- kesheh copper deposit, Northeast of Zanjan (Tarom)

Fereshteh Baghzadeh¹, Hafez Marangi²

Fereshteh Baghi-Zadeh, MSc., Dept. of Petrology, University of Zanjan, Zanjan, Iran.

Hafez Marangi, Ph.D.Studend,Dept.of Economic Geology University of Tabriz, Tabriz, Iran.

Abstract

Gilan-kesheh copper deposits of Tarom are classified according to the division of the structural unit in the western Alborz zone. Outcrop units in the study area include pyroclastic sets including vitric tuffs and lithic tuffs with intermediate andesitic lava, trachy andesite-basalt, andesite-basalt and Pyroxene-andesite with the age of Eocene is that the Kordkand units form the Karaj - Formation in this region. In the Gilan-kesheh deposit, the minerals contain calco pyrite, boronite, covelite, calcocite, dignite and malachite ores. The structure and texture of the mineral material in this deposit include disseminated, vein-veinlet, replacement and open space filling. The alterations in this deposit related to the process of copper mineralization include chlorite, carbonate, silica, sericite, zeolite and, in some cases, argillic alterations. Evidence such as mineralogy, host rock, structure, texture and geometry in the Gilan-kesheh copper deposit



indicates copper mineralization as a type of hydrothermal type of ore deposits. In this deposit, the mineralized veins have a general north-south extension and are drawn parallel to each other. Field work and geology in this area show that the granites that are younger than the Eocene in the south range are the origin of the hydrothermal solutions. Therefore, the region's tectonics and silica veins can be introduced as a mineralogical controller in the area.

Keywords: Tarom, copper mineralization, hydrothermal, Gilan-kesheh

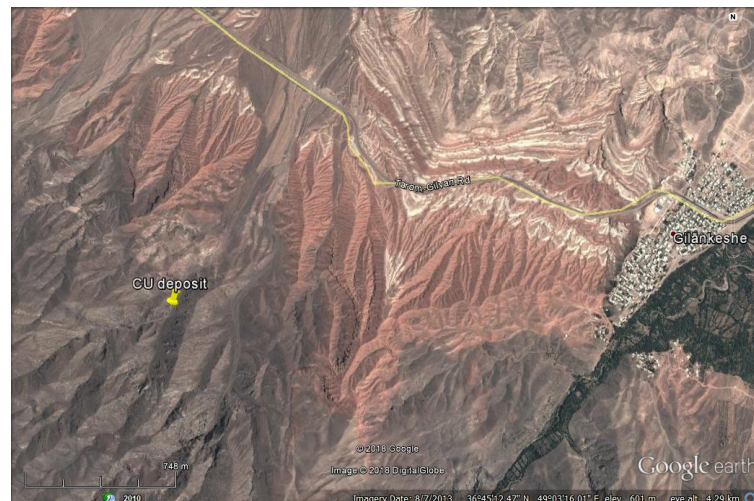
مقدمه

کوههای طارم به عنوان بخشی از رشته کوه البرز، تقریباً شرقی- غربی که از جنوب به دشت زنجان- ابهر تاکستان و از شمال به دشت طارم که در آن رودخانه قزل اوزن جاری است، محدود می‌شود. در ناحیه طارم چندین کانسار فلزی که مهمترین آنها مس، سرب و روی و آهن می‌باشد وجود دارد کلیه این کانسارها مرتبط با سنگ‌های آتشفسانی و توده‌های نفوذی ترسیم می‌باشند که از جمله این کانه‌زایی‌ها، می‌توان به کانسار مس خلیفه‌لو (فیضی و خاکزاد، ۱۳۷۶)، کانسار مس ماهین طارم سفلی (هادی، ۱۳۷۹)، کانسار اپی‌ترمال مس- طلای گلوجه (مهرابی و همکاران، ۱۳۸۸)، کانسارهای اکسید آهن- آپاتیت طارم (Nabatian et al, 2012, 2014, 2015) کانسار (میرعلی اصغر مختاری و همکاران، ۱۳۹۴)، مس دهن (محمدی و همکاران، ۱۳۹۵)، مس علی آباد موسوی- خان چای (میرعلی اصغر مختاری و همکاران، ۱۳۹۴)، مس قشلاق (عباسپور و همکاران، ۱۳۹۵) و کانسار چند فلزی (مس، سرب، روی) لوبین- زرده (حسین‌زاده و همکاران، ۱۳۹۳) اشاره کرد. از دیگر کانسارهای موجود در این پهنه می‌توان به کانسار مس گیلان‌کشه اشاره کرد. کانی‌سازی مس با توجه به مطالعات قبلی و تجزیه‌های ژئوشیمیابی صورت گرفته، واحد سیلیسی شده و رگه‌های سیلیسی حاوی کانه‌زایی مس هستند. به نظر می‌رسد، محلول‌های گرمابی غنی از سیلیس که حاوی مس نیز بوده‌اند، سیستم درزه و شکستگی‌ها موجود در توالی‌های آتشفسانی- رسوبی اؤسن را مسیر مناسبی برای نفوذ تشخیص داده‌اند. این محلول‌ها ضمن تشکیل آلتراسیون سیلیسی، موجب تمرکز و کانه‌زایی مس نیز شده‌اند.

بحث

موقعیت جغرافیایی و راه دسترسی

محدوده مورد مطالعه در استان زنجان و در حومه شهرستان طارم قرار گرفته است. نزدیکترین آبادی به منطقه، روستای گیلان‌کشه می‌باشد. در تقسیم‌بندی زون‌های ساختاری- زمین‌شناسی ایران، این منطقه بخشی از زون البرز غربی به شمار می‌رود. این منطقه بخش کوچکی را در حاشیه شمال شرقی ورقه ۱:۱۰۰۰۰ رودبار و بخشی از ورقه ۱:۲۵۰۰۰ زنجان را بخود اختصاص داده است. محدوده روستای گیلان‌کشه در ۷۰ کیلومتری شمال شرق زنجان قرار دارد. جهت دسترسی به محدوده می‌توان از طریق جاده زنجان- طارم استفاده نمود (شکل ۱).



شکل ۱: موقعیت محدوده اکتشافی بر روی تصویر ماهواره‌ای گوگل ارث و موقعیت آن نسبت به روستای گیلانکشه و نمایی از عکس صحرایی منطقه‌ی مورد مطالعه.

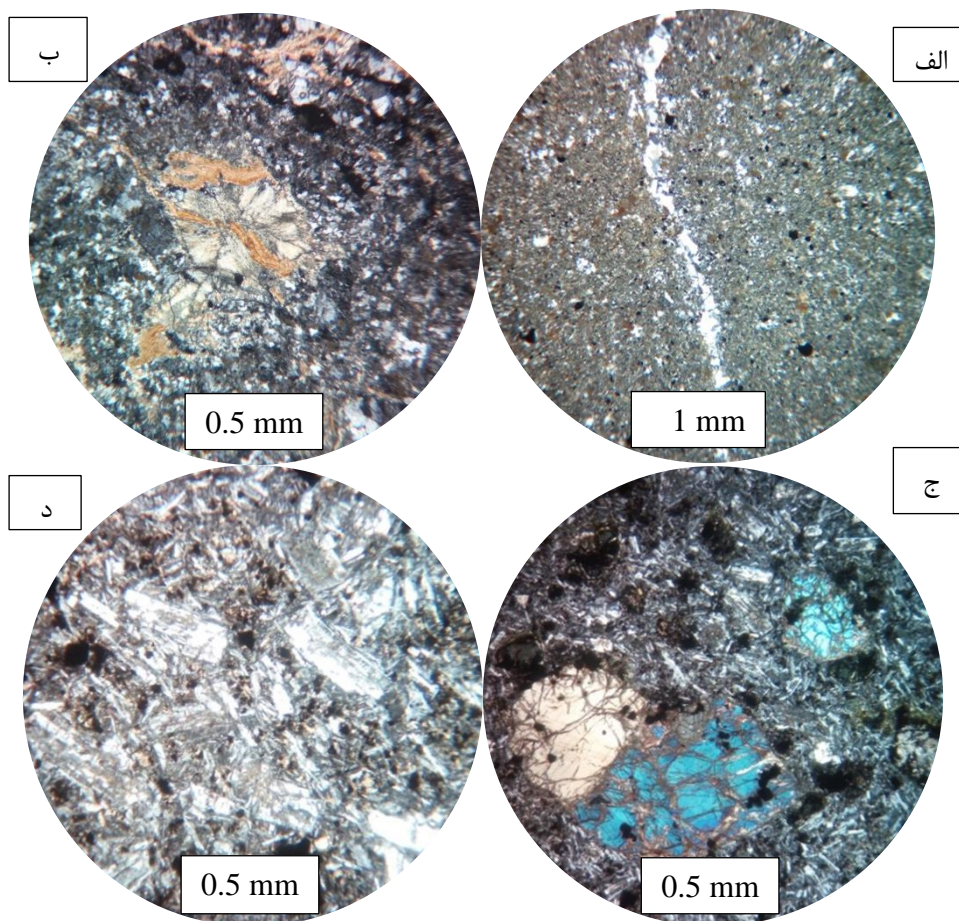
پتروگرافی

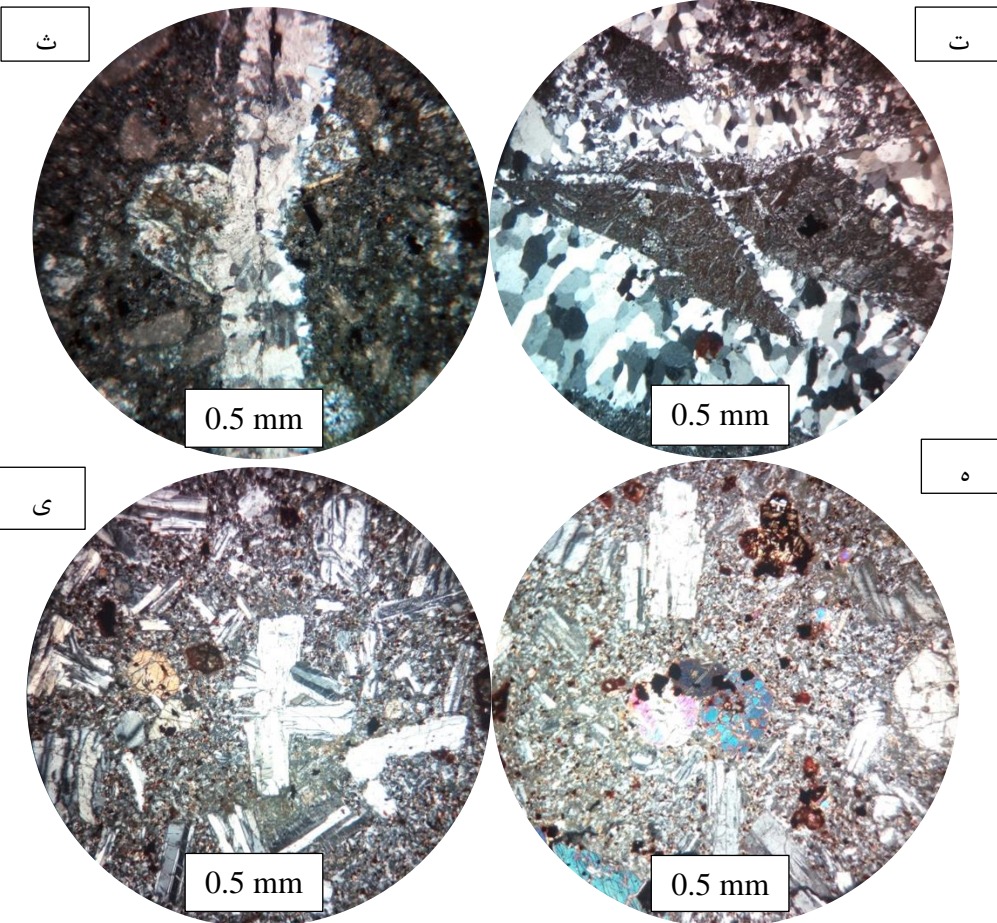
واحد سنگی غالب در محدوده‌ی مورد مطالعه واحد آذر آواری (لیتیک توف و ویتریک توف) با بین لایه‌های واحد آتشفسانی (آندرزیت تا آندزیت - بازالت، تراکی آندزیت - بازالت و پیروکسن - آندزیت) برشی شده به سن ائوسن می‌باشد. واحدهای توفی منطقه دچار دگرسانی سیلیسی، کربناتی و زئولیتی شده‌اند. سیلیس به صورت رگه، رگچه-ای، دندان سگی و پراکنده و کربنات به صورت رگچه‌ای در این واحدها دیده می‌شود (شکل ۳: الف و ب). واحدهای آتشفسانی منطقه به رنگ خاکستری تا خاکستری تیره شامل طیف متفاوتی از سنگ‌های آتشفسانی بسیار سالم تا بسیار هوازده می‌باشد و از ظاهری خرد شده با بافت ریز دانه تا متوسط بلور برخوردار است. مطالعات پتروگرافی



صورت گرفته بر روی مقاطع نازک تهیه شده از این سنگ‌ها بیانگر بافت غالب هیالومیکرولیت پورفیریتیک و گلومروپورفیریتیک همراه با حضور فنوکریست‌های پلاژیوکلاز، و پیروکسن در زمینه‌ای شیشه‌ای تا ریز بلور از میکرولیت‌های پلاژیوکلاز می‌باشد.

در نمونه‌ی تراکی آندزیت- بازالت، میکرولیت‌های پلاژیوکلاز در زمینه سنگ از تراکم بالایی برخوردار هستند و بافت تراکیتی را در تعدادی از مقاطع تهیه شده به نمایش می‌گذارد (شکل ۳: ج و د). میکروفنوکریست الیوین نیز در مقاطع مشاهده شده که به شدت دگرسان شده و تنها قالبی از آن باقی‌مانده است. کانی‌های ثانویه شامل کلریت، کلسیت، سریسیت و اکسیدهای آهن می‌باشد. سنگ‌های آندزیت - بازالت منطقه کاملاً برشی شده و این واحد توسط رگه و رگچه‌های سیلیسی و کربناتی دچار دگرسانی شدید شده است. اغلب کانی‌های این واحد به صورت پسودومورف پلاژیوکلاز و پیروکسن می‌باشند که با کربنات و سیلیس پر شده‌اند (شکل ۳: ت و ث). سنگ‌های آتشفسانی پیروکسن - آندزیت در مقاطع میکروسکوپی به صورت تقریباً سالم دارای درشت بلورهای پلاژیوکلاز سالم و برخی دگرسان شده دارای بافت هیالومیکرولیت و گلومروپورفیریتیک دیده می‌شود. فنوکریست‌های پیروکسن آن دچار شکستگی شده و با اکسید آهن پر شده است (شکل ۳: ه و ی).





شکل ۳: تصاویر میکروسکوپی (نور XPL) از نمونه‌های سنگی منطقه‌ی مورد مطالعه. الف) تصویر مقطع میکروسکوپی از توف شیشه‌ای دارای رگه‌ی سیلیسی. ب) دگرسانی زئولیتی در واحد توف شیشه‌ای. ج) بافت پورفیری و حضور فنوکریست‌های پیروکسن در آن. د) میکرولیت‌های پلاژیوکلاز که بافت تراکیتی را به نمایش گذاشته‌اند. ت) نمونه‌ی آندزیت – بازلات برشی شده دارای رگه‌ی سیلیسی. پ) پسودومورف پیروکسن که رگه‌ی سیلیسی، کربناتی آن را قطع کرده است. ه) تجمع پیروکسن‌های شکسته شده در سنگ پیروکسن آندزیت. ی) بافت گلومروبورفیریتیک در نمونه‌ی پیروکسن – آندزیت.

کانه‌زایی و ساخت و بافت

با توجه به مطالعات پیشینه و تجزیه‌های ژئوشیمیایی صورت گرفته، واحد سیلیسی شده و رگه‌های سیلیسی حاوی کانه‌زایی مس هستند. به نظر می‌رسد، محلول‌های گرمابی غنی از سیلیس که حاوی مس نیز بوده‌اند، سیستم درزه و شکستگی‌های موجود در توالی‌های آتشفسانی- رسوی اوسن را مسیر مناسبی برای نفوذ تشخیص داده‌اند (شکل: ۶). این محلول‌ها ضمن تشکیل آلتراسیون سیلیسی موجب تمرکز و کانه‌زایی مس نیز شده‌اند. مطالعات میدانی و زمین‌شناسی در این محدوده نشان می‌دهد که گرانیت‌های جوان‌تر از اوسن که در جنوب محدوده وجود دارند منشأ محلول‌های گرمابی مذکور گرفته باشند. بنابراین تکتونیک منطقه و رگه‌های سیلیسی را می‌توان به عنوان عامل کنترل کننده کانه‌زایی در محدوده معرفی نمود.

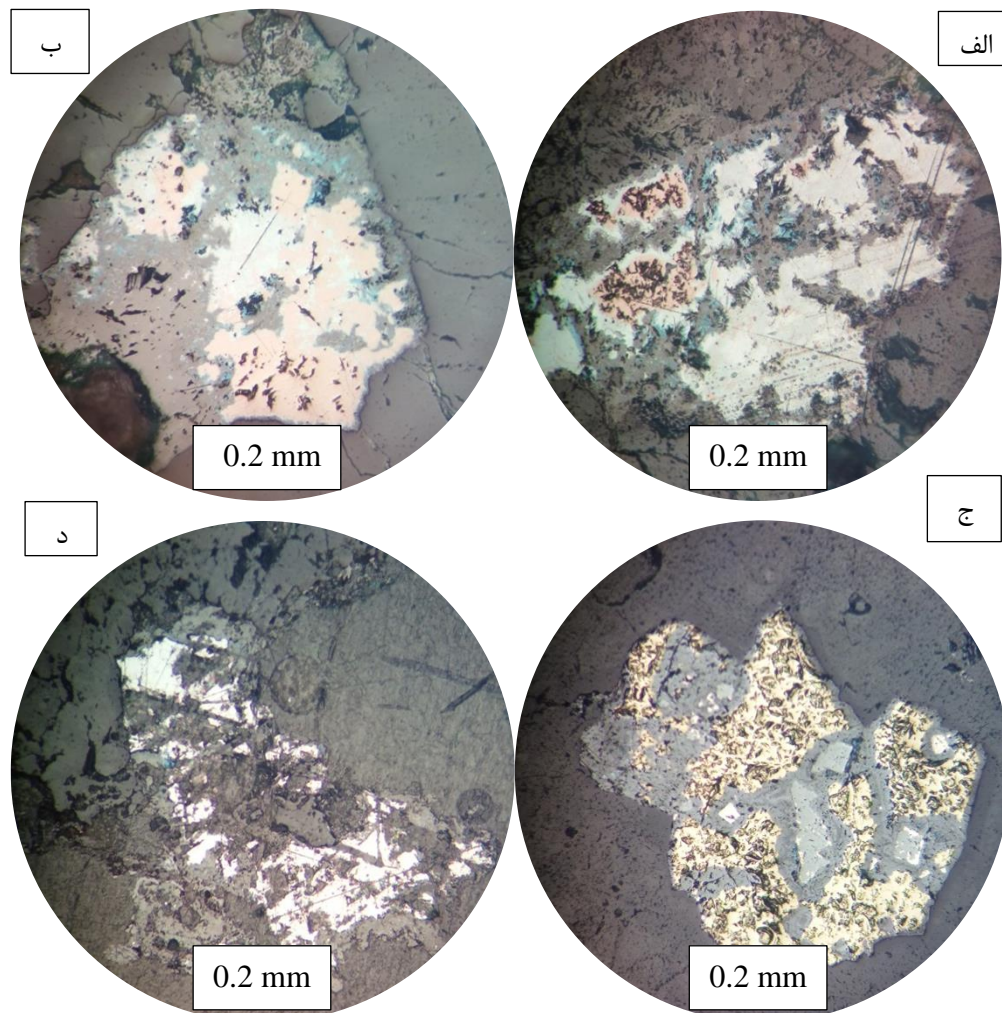


شکل ۶: رگه‌های سیلیسی حاوی کانه‌زایی مس درون درز و شکاف‌های سنگ.

آثار کانه‌زایی مس در واحدهای سیلیسی شده و رگه‌های سیلیسی به چشم می‌خورد به طوری که کانی‌های مالاکیت و کالکوسیت با چشم غیر مسلح دیده می‌شوند (شکل ۷). مطالعات کانه نگاری صورت یافته بر روی مقاطع صیقلی تهیه شده از این کانه‌زایی نشان دهنده حضور کانی‌های مس‌دار مانند کالکوپیریت، بورنیت، کالکوسیت، دیژنیت، کوولیت و مالاکیت می‌باشد. کالکوسیت در تعدادی از مقاطع به صورت رگچه دیده می‌شود و معمولاً در حال تبدیل به دیژنیت و کوولیت است. بورنیت به صورت دانه‌های همرشدی با کالکوسیت مشاهده می‌شود (شکل ۸: الف و ب). کالکوپیریت و پیریت به صورت انگشت شمار در مقاطع دیده حضور دارند. بر اساس شواهد کانه نگاری، کالکوپیریت شکستگی‌ها و فضاهای خالی پیریت را پر کرده است که این نشان می‌هد پیریت قبل از کالکوپیریت متبلور شده است. کالکوپیریت همچنین در اثر آلتراسیون سوپرژن تعدادی از دانه‌های کالکوسیت از محل شکستگی‌ها و یا حاشیه در حال تبدیل به کوولیت هستند (شکل ۸: ج و د). در فاز غیر فلزی (کربناتی) نیز، مالاکیت در رگه‌های سیلیسی و کربناتی تشکیل یافته است. کانی‌های اکسید آهنی مانند هماتیت و هیدروکسیدها آهن (لیمونیت و گوتیت) نیز در تعدادی از مقاطع قابل مشاهده هستند (شکل ۸: ه و ی).



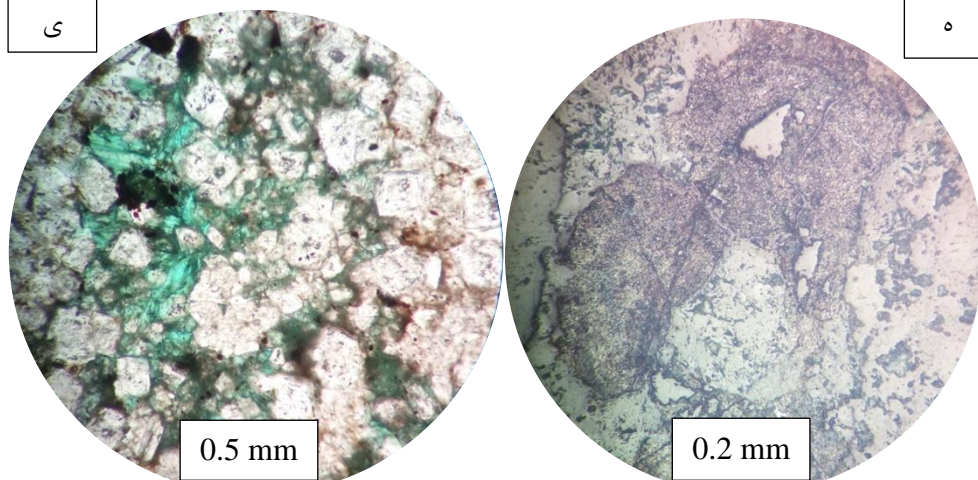
شکل ۷ : تصویری از رخمنون مالاکیت در منطقه مورد مطالعه.





ی

ه



شکل ۸: تصاویر میکروسکوپی از مقاطع تهیه شده از محل کانه زایی مس (نور ppl). (الف) حضور کالکوسیت سفید رنگ و دیژنیت به همراه بورنیت که از اطراف در حال تبدیل به کوولیت هستند. (ب) حضور کالکوسیت، دیژنیت و بورنیت. کوولیت به عنوان محصول آتراسیون سوپرژن از اطراف کالکوسیت در حال جانشینی است. (ج) شواهد تشکیل پیریت قبل از کالکوپیریت. (د) حضور کالکوسیت و جانشینی کوولیت با آن. (ه) حضور هماتیت در فضاهای خالی کربنات. (ی) تشکیل ملاکیت در فضاهای خالی کربنات.

نتیجه گیری

طی بازدیدهای صحرایی و مطالعات پتروگرافی انجام گرفته در کانسار مس گیلان کشیده، مشخص شد که واحدهای رخنمون یافته در منطقه متعلق به عضوکرد سازند کرج به سن ائوسن می‌باشند که شامل واحدهای آذر آواری (توفی) با میان لایه‌های آتشفسانی (آنذیت تا آندزیت - بازالت، تراکی آندزیت - بازالت و پیروکسن - آندزیت) می‌باشد. اکثر این واحدها دچار دگرسانی شده و کانه‌زایی مورد نظر در رگه‌های سیلیسی و کربناتی آن‌ها صورت گرفته است. کانه‌زایی شاخص محدوده مطالعه سولفیدها و اکسیدهای مس و به طور جزئی اکسید و هیدروکسید آهن (کالکوپیریت، بورنیت، کالکوسیت، کوولیت، دیژنیت، هماتیت، لیمونیت و گوتیت) می‌باشد. از نظر خصوصیات مربوط به محیط تهیشی، کانی‌شناسی، ساخت و بافت و ژئومتری، نوع سنگ میزبان و دگرسانی‌ها، کانسار مس گیلان کشیده شباهت فراوانی با کانسارهای مس هیدروترمال دارد. مطالعات میدانی و زمین‌شناسی در این محدوده نشان می‌دهد که گرانیت‌های جوان‌تر از ائوسن که در جنوب محدوده وجود دارند منشأ محلول‌های گرمابی مذکور گرفته باشند. بنابراین تکتونیک منطقه و رگه‌های سیلیسی را می‌توان به عنوان عامل کننده کانه‌زایی در محدوده معرفی نمود.

منابع

- حسین زاده، م؛ مغفوری، س؛ موید، م؛ لطفه‌نیا، م؛ حاج علیلو، ب؛ سنگ‌شناسی، دگرسانی و کانه‌زایی رگه-رگچه‌ای (مس، سرب و روی) در منطقه لوین-زرد، شمال خاور زنجان.
- خاکزاد، ا؛ فیضی، ف، ۱۳۷۶، ژنز کانسار مس خلیفه‌لو (خرمده)، اولین همایش زمین‌شناسی ایران.
- زمانیان، ح؛ رحمانی، ش؛ جان‌ثاری، م؛ زارعی سهامیه، ر؛ بنا، ب؛ ۱۳۹۴، بررسی کانی‌سازی مس-طلدار گرانیتویید طارم (شمال زنجان) بر پایه شواهد کانی‌شناسی، ژئوشیمی و میانبار سیال. فصلنامه علوم زمین، زمستان ۹۴، سال بیست و پنجم، شماره ۹۸، صفحات ۲۵۵-۲۸۲.
- عباسپور، ن و همکاران، ۱۳۹۵-زمین‌شناسی، کانه‌زایی و کانی‌شناسی کانسار مس قشلاق، شرق زنجان، سی و پنجمین گردهمایی ملی علوم زمین، سازمان زمین‌شناسی و اکتشافات معدنی کشور.



- مهرابی، ب؛ طالع فاضل، ا؛ قاسمی سیانی، م؛ اقبالی، م.ع؛ ۱۳۸۸، بررسی نحوه کانی‌سازی و تشکیل کانسار رگه‌ای مس-طلا گلوجه (شمال زنجان)، مجله علوم دانشگاه تهران، جلد ۳۵، شماره ۴، صفحات ۱۸۵-۱۹۹.
- مختاری، م؛ ع؛ ا. کوهستانی، ح؛ سعیدی، ع؛ ۱۳۹۴، بررسی نوع و خاستگاه کانه‌زایی مس در رخداد معدنی علی آباد موسوی - خان چای، خاور زنجان، با استفاده از داده‌های سنگ‌شناسی، کانی‌شناسی و زمین‌شناسی، مجله علوم دانشگاه تهران، شماره ۱۰۰، صفحات ۲۵۹ تا ۲۷۰.
- محمدی، م و همکاران، ۱۳۹۵ - زمین‌شناسی، کانه‌زایی و کانی‌شناسی کانسار مس دهن، شمال شرق زنجان، هشتمین همایش انجمن زمین‌شناسی اقتصادی ایران، دانشگاه زنجان.
- هادی، ا؛ راسا، ا؛ وثوقی عابدینی، م؛ ۱۳۷۹، زمین‌شناسی اقتصادی ذخایر مس ماهین (طرام سفلی- شمال غرب ابهر)، پایان نامه کارشناسی ارشد، دانشکده علوم زمین، دانشگاه شهید بهشتی.

- Nabatin, Gh., Ghaderi, M., Daliran, F. & Rashidnejad-Omran, N., 2012- Sorkhe-Dizaj iron oxide-apatite ore deposit in the cenozoic AlborzAzerbaijan magmatic belt, NW Iran, Resource Geology Vol. 63, No. 1: 42–56
- Nabatian, Gh., Ghaderi, M., Corfu, F., Neubauer, F., Bernroider, M., Prokofiev, V., and Honarmand, M., 2014, Geology, alteration, age and origin of iron oxide-apatite deposits in Upper Eocene quartz monzonite, Zanjan district, NW Iran. Mineralium Deposita, 49, 217–234.
- Nabatian, Gh., Rastad, E., Neubauer, F., Honarmand, M., and Ghaderi, M., 2015, Iron and Fe-Mn mineralisation in Iran: implications for Tethyan metallogeny. Australian Journal of Earth Sciences, 62, 211-241.